

(مقاله پژوهشی)

**روشی نوین جهت بهبود قابلیت ردیابی ترک در چرخ‌دنده‌های مارپیچ\***محسن رضایی<sup>(۱)</sup> شهرام هادیان جزی<sup>(۲)</sup> فرهاد پورسینا<sup>(۳)</sup> مهرداد حاجی ابوطالبی<sup>(۴)</sup>

**چکیده** ۵ سیستم‌های چرخ‌دنده‌ای مارپیچ نسبت به چرخ‌دنده‌های ساده از دقت، عمر و کاربرد بیشتر و لرزش، سروصدا و خطای انتقال کمتری بهره می‌برند. یکی از مواردی که می‌تواند در کارکرد این سیستم‌ها خلل ایجاد کند، وجود ترک در ریشه دنده است. به همین دلیل شناسایی ترک در مراحل اولیه پیاپیش و رشد آن، بسیار حائز اهمیت است. یکی از روش‌های متبادل برای استخراج اثر ترک‌ها از سیگنال ارتعاشی، استفاده از روش سیگنال باقیمانده است. ازانجاكه محاسبه سیگنال باقیمانده مستلزم دانستن سیگنال ارتعاشی حالت سالم و یا پارامترهای اولیه و شرایط کاری سیستم مورد بررسی است، ارائه راهکاری جهت بررسی نمودن اثر ترک روی سیگنال ارتعاشی بدون نیاز به اطلاعات دیگر می‌تواند بسیار مغاید واقع شود. در این پژوهش، ابتدا روش محاسبه سفتی درگیری چرخ‌دنده‌های مارپیچ و اثر ترک دنده‌انه روی آن بررسی شده و سپس یک سیستم کامل چرخ‌دنده‌ای مارپیچ تک مرحله‌ای شامل موتور و بار، مالسازی و به صورت عددی حل شده تا سیگنال ارتعاشی سیستم حاصل گردد. سپس تأثیر این روش بر سیگنال ارتعاشی بدست آمده از شبیه‌سازی دینامیکی یک سیستم با یک ترک کوچک ارائه می‌گردد. نهایتاً روش پیشنهادشده روی سیگنال ارتعاشی سیستم ارائه شده در یکی از تحقیقات پیشین، اعمال شده و کارایی آن نشان داده می‌شود.

**واژه‌های کلیدی** چرخ‌دنده مارپیچ؛ ردیابی ترک؛ خطای انتقال؛ پردازش سیگنال**A Novel Method to Improve Crack Detection Ability in Helical Gear**

M. Rezaei    Sh. Hadian Jazi    M. Poursina    F. Haji Aboutalebi

**Abstract** The helical gear systems have some distinctions such as more precision, long life and more applications in the industry, and less vibration, noise and transmission error compared to spur gear systems. One of the damages that can affect the operation of these systems is the gear tooth root crack. So, the crack detection in its early stages of growth and development is very important. The residual signal method is one of the common methods to extract the effect of crack from the system vibration signal. Since the residual signal calculation requires the information of the vibration response of the healthy state or the system initial parameters, providing a method to extract the effect of crack from the vibrating response without any more information is very helpful. In this research, at first the calculation of the helical gear pair mesh stiffness is explained, and the effect of tooth root crack is also described. Then, a single-stage helical gear system, with the motor and the load, is modeled and solved numerically to achieve the system dynamic response. Then, the effect of present method on the vibration signal obtained from the dynamic simulation of a system with a small crack is shown and discussed. Finally, the proposed method is applied to the dynamic response signal of a system that presented in one of the previous researches, and its efficiency is illustrated.

**Key Words** Helical Gear; Crack Detection; Transmission Error; Signal Processing.

\*تاریخ دریافت مقاله ۹۷/۱۰/۱۳ و تاریخ پذیرش آن ۹۸/۹/۴ می‌باشد.

(۱) دکتری، مهندسی مکانیک، دانشگاه اصفهان، اصفهان، ایران

(۲) نویسنده مسئول: استادیار، مهندسی مکانیک، دانشگاه اصفهان، اصفهان، ایران، s.hadian@eng.ui.ac.ir

(۳) دانشیار، مهندسی مکانیک، دانشگاه اصفهان، اصفهان، ایران

(۴) استادیار، مهندسی مکانیک، دانشگاه اصفهان، اصفهان، ایران

## مقدمه

سیستم‌های انتقال قدرت در صنعت از نظر کارایی، دقت و عمر مورد بررسی و گزینش قرار می‌گیرند. اجمالی سیستم‌های انتقال قدرتی که نسبت به دیگر سیستم‌ها دارای نسبت ظرفیت باربری به وزن بالاتر، راندمان انتقال بیشتر، سروصدا و ارتعاش کمتر و عمر بیشتر است، می‌توان به سیستم‌های چرخ‌دنده‌ای اشاره نمود. در این میان سیستم‌های چرخ‌دنده‌ای مارپیچ از دقت، عمر و کاربرد بیشتر و لرزش، سروصدا و خطای انتقال کمتری نسبت به دیگر سیستم‌ها بهره می‌برند. یکی از مواردی که باعث ایجاد خلل در کارکرد این سیستم‌ها می‌شود، وجود ترک در دندانه چرخ‌دنده است که عموماً در ریشه دندانه‌ها اتفاق می‌افتد. از این رو شناسایی و ردیابی ترک دندانه در آغاز پیدا شی و رشد اولیه آن، بسیار حائز اهمیت بوده و همچنین یکی از حوزه‌های مورد علاقه و مطالعه پژوهشگران است. پژوهش‌ها در این زمینه به سه بخش محاسبه سفتی درگیری چرخ‌دنده‌های ترکدار، مدل‌سازی دینامیکی سیستم چرخ‌دنده‌ای و پردازش سیگنال ارتعاشی تقسیم‌بندی می‌شوند.

محمد و همکارانش [1] به محاسبه سفتی درگیری چرخ‌دنده ساده ترکدار با هدف تحلیل عیوب چرخ‌دنده بر اساس ارتعاشات آن پرداختند. ایشان به روش اجزاء محدود و روش‌های تحلیلی مختلفی سفتی درگیری چرخ‌دنده‌های ساده را محاسبه کردند. اختلاف دو روش تحلیلی آنها در تعیین ناحیه مرده حاصل از ترک بود. آنها برای تعیین ناحیه مرده، به ترتیب از یک خط راست قائم و یک منحنی سه‌می وار استفاده نموده و با استفاده از روش اجزاء محدود نشان دادند، زمانی که طول ترک نسبت به ضخامت دندانه زیاد می‌شود، تعیین ناحیه مرده بر اساس منحنی سه‌می وار مناسب‌تر از خط راست خواهد بود.

لی و همکارش [2] دینامیک یک سیستم چرخ‌دنده‌ای ساده با یک مدل جرم متتمرکز چهار درجه

آزادی را بررسی کرده و سیگنال ارتعاشی آن را به دست آورده‌اند. درجات آزادی مدل آنها به ترتیب جابجایی پیچشی موتور، چرخ‌دنده رانده، چرخ‌دنده رانده‌شده و مصرف‌کننده است. آنها با استفاده از بسط فوریه سفتی درگیری چرخ‌دنده‌ها، به حل رابطه دینامیکی پرداختند.

وان و همکارانش [3] سفتی درگیری یک جفت چرخ‌دنده مارپیچ را به روش تحلیلی محاسبه کردند. آنها یک دندانه مارپیچ را با چندین دندانه ساده با ضخامت کم که پشت سر هم قرار گرفته‌اند، جایگزین کردند. قرارگیری هر دندانه ساده در راستای ضخامت چرخ‌دنده، نسبت به دندانه قبلی وابسته به زاویه مارپیچ دندانه اصلی خواهد بود. آنها نتایج مدل خود را با یک مدل اجزاء محدود مقایسه کرده و نشان دادند این روش از دقت کافی برخوردار است. سپس به بررسی تأثیر پارامترهای مختلف از جمله مدول چرخ‌دنده، زاویه مارپیچ، ضخامت چرخ‌دنده و ترک در ریشه دندانه پرداختند. آنها همچنین دینامیک یک جفت چرخ‌دنده مارپیچ را با یک مدل جرم متتمرکز شش درجه آزادی بررسی کردند. درجات آزادی مدل آنها شامل دو درجه آزادی عرضی و یک درجه آزادی چرخشی برای هر چرخ‌دنده بود. آنها سیگنال ارتعاشی سیستم مورد نظر خود را به دست آورده و شتاب حرکت پیوند در راستای عرضی را برای مقادیر مختلف زاویه مارپیچ نشان دادند.

برای بهبود استخراج عیوب پنهان در چرخ‌دنده‌ها روش‌های مختلفی بر اساس میانگین‌گیری هم‌زمان برای تحلیل سیگنال حاصل از این سیستم‌ها توسعه داده شده‌اند. در این میان دو روش پرکاربرد روش تفکیک دامنه‌ای و فازی (Amplitude and Phase Residual) و روش سیگنال باقیمانده (Demodulation Method) هستند. مکفادن [4] پیشنهاد داد که برای شناسایی ترک دندانه چرخ‌دنده از تفکیک فازی به جای تفکیک دامنه‌ای استفاده شود. در روش سیگنال

از آنجاکه محاسبه سیگنال باقیمانده مستلزم دانستن سیگنال ارتعاشی حالت سالم و یا پارامترها و شرایط سیستم مورد بررسی است، ارائه راهکاری جهت بررسیه نمودن تأثیر ترک دندانه روی سیگنال ارتعاشی؛ بدون نیاز به دانستن اطلاعات اضافی؛ می‌تواند در شناسایی محل ترک در سیگنال ارتعاشی بسیار مفید واقع شود. در این تحقیق این مهم محقق گشته و روشی جدید برای بر جسته‌سازی اثرات عیوب محلی ارائه می‌گردد. بدین منظور، در این مقاله ابتدا روش محاسبه سفتی درگیری چرخ‌دنده‌های مارپیچ و اثر ترک دندانه روی آن بررسی شده و سپس یک سیستم کامل چرخ‌دنده‌ای مارپیچ تک مرحله‌ای شامل موتور و بار، مدل‌سازی و به صورت عددی حل شده تا سیگنال ارتعاشی سیستم حاصل گردد. سپس روش پیشنهادشده روی سیگنال ارتعاشی حاصل از شبیه‌سازی دینامیکی سیستم چرخ‌دنده مارپیچ اعمال شده و کارایی آن بررسی می‌گردد. نهایتاً روش پیشنهادشده روی سیگنال ارتعاشی یک سیستم دیگر که در تحقیقات پیشین ارائه شده است، اعمال شده و قابلیت آن نشان داده می‌شود.

### محاسبه سفتی درگیری به روش تحلیلی

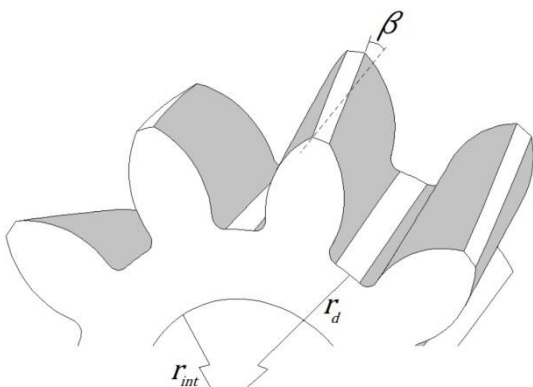
اوئین مرحله از مراحل بررسی یک سیستم چرخ‌دنده‌ای تعیین سفتی درگیری دو چرخ‌دنده درگیر است. در این بخش برای روشن تر شدن موضوع ابتدا یک تعریف اجمالی از عنوان سفتی درگیری ارائه می‌شود. وقتی دو دندانه از دو چرخ‌دنده درگیر با یکدیگر تماس پیدا می‌کنند، بر اثر نیرویی که به یکدیگر وارد می‌کنند و رفتار الاستیک آنها، چرخ‌دنده‌ها دچار کرنش می‌شوند. نسبت نیروی اعمالی بین دو دندانه و جابجایی در راستای اعمال این نیرو را سفتی درگیری دو چرخ‌دنده می‌نامند. لازم به توضیح است که سفتی درگیری دو چرخ‌دنده از زمان دیدار تا زمان وداع دو دندانه متغیر است. سفتی درگیری دو چرخ‌دنده را با استفاده از

باقیمانده برای اینکه سیگنال تولید شده بر اثر عیوب مورد نظر بهتر و واضح‌تر شناسایی شود، سیگنال منظم حاصل از فرکانس درگیری چرخ‌دنده را حذف کرده و تحلیل روی سیگنال باقیمانده انجام می‌شود. روش‌های مختلفی برای تولید سیگنال باقیمانده وجود دارد. اوئین روش توسط استوارت [5] با توسعه شاخص‌های شناسایی عیوب ارائه شد. یکی از ابزارهای قدرتمندی که او ارائه داد شاخص کشیدگی سیگنال باقیمانده بود که به FM4 معروف است. راندال [6] نیز از روش حذف هارمونیک‌های درگیری چرخ‌دنده از سیگنال اصلی به محاسبه سیگنال باقیمانده در حوزه زمان بهره برداشت. یک روش جدید پالایش بر اساس مدل خودبرگشت‌کننده (Model Autoregressive) بعدها توسط وانگ و وونگ [7] توسعه یافت. محققان دیگر در مراجع [8-11] نشان دادند که روش مدل خودبرگشت‌کننده از مدل قدیمی استوارت زودتر و با بازدهی بالاتر عیوب را شناسایی می‌کند.

وو و همکارانش [12] از دو روش برای محاسبه سیگنال باقیمانده استفاده کردند. آنها در روش اول با حذف فرکانس‌های درگیری و فرکانس محور و هارمونیک‌های آنها از سیگنال اصلی، سیگنال باقیمانده را به دست آوردند. در روش دوم آنها سیگنال سیستم سالم را از سیگنال سیستم معیوب کم کرده و به سیگنال باقیمانده دست یافتنند. سان و همکارانش [13] و بازونی و همکارانش [14] از سیگنال باقیمانده در تحقیقات خود به عنوان یک روش عیوب‌یابی استفاده کرده‌اند. نهایتاً ماهگون [15] یک روش محاسبه سیگنال Ensemble باقیمانده بر اساس تجزیه جمعی تجربی (Decomposition Empirical Mode استفاده از این روش سیگنال باقیمانده با حذف توابع مود طبیعی (Intrinsic Mode Functions) که هارمونیک‌های فرکانس درگیری و دیگر اجزای سیگنال‌های منظم را دربرمی‌گیرند، به دست می‌آید.

علت وجود زاویه مارپیچ در دندانه‌های خود، کاملاً آرام و یکنواخت وارد درگیری شده و به همین ترتیب خارج می‌شوند. سطح تماس یک دندانه مارپیچ در لحظه ابتدای درگیری یک نقطه بوده و سپس تبدیل به خط می‌شود. طول این خط رفتارهای با درگیر شدن کامل دندانه به بزرگ‌ترین مقدار خود می‌رسد، سپس در انتهای درگیری نیز طول خط تماس رو به کاهش گذاشته و در آخرین لحظه خروج از درگیری تبدیل به نقطه می‌گردد. این خاصیت چرخ‌دانه‌های مارپیچ باعث می‌شود تغییرات سفتی درگیری آنها نیز بسیار آرام و یکنواخت باشد که تولید ارتعاش و سروصدای کمتر سیستم را در پی دارد [3]. برشی از یک چرخ‌دانه مارپیچ در حالت سه‌بعدی در شکل (۱) نشان داده شده است.

واضح است که به دلیل وجود زاویه مارپیچ، سفتی درگیری چرخ‌دانه‌های مارپیچ را نمی‌توان مشابه چرخ‌دانه‌های ساده محاسبه کرد، اما می‌توان از آن روش به‌گونه‌ای دیگر بهره برد. در این روش یک دندانه مارپیچ به قطعات کوچک‌تری تقسیم شده که آنها را می‌توان با تقریب مناسب، یک دندانه ساده با پهنه‌ای نازک فرض کرد [3]. لحظه شروع درگیری هر دو قطعه مجاور دارای یک فاصله زاویه‌ای است که به تعداد قطعات و زاویه مارپیچ دندانه اصلی بستگی دارد.



شکل «۱»: برشی از یک مدل سه‌بعدی چرخ‌دانه مارپیچ

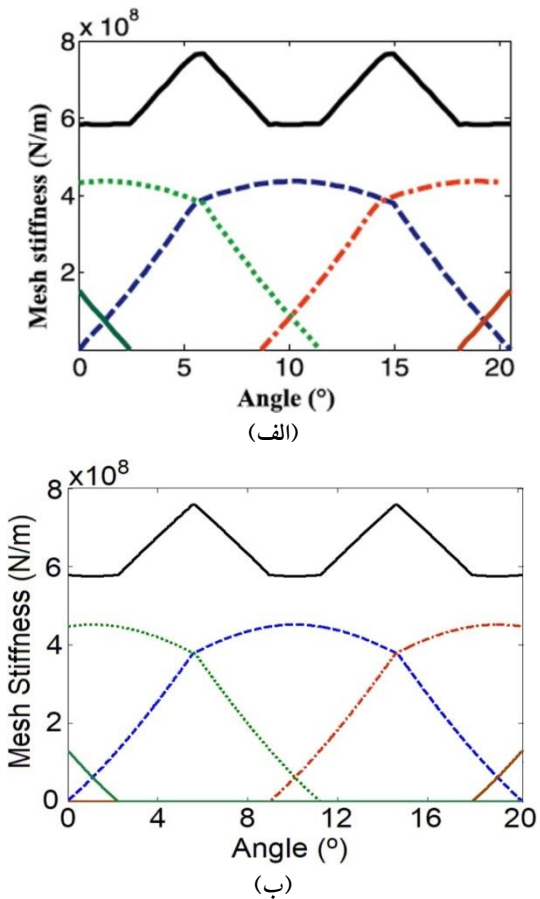
روش‌های مختلفی مانند روش تحلیلی، اجزاء محدود و آزمون تجربی می‌توان محاسبه کرد. در این پژوهش روش تحلیلی برای محاسبه سفتی درگیری مورد استفاده قرار می‌گیرد. برای محاسبه سفتی درگیری دو چرخ‌دانه به روش تحلیلی ابتدا به این مطلب اشاره می‌شود که سفتی درگیری دو چرخ‌دانه از برهم‌نی‌سفتی جفت دندانه‌های درگیر در هر لحظه حاصل می‌شود. به این منظور، ابتدا سفتی یک جفت دندانه درگیر مورد بررسی قرار گرفته و سپس با استفاده از نسبت تماس دو چرخ‌دانه سفتی درگیری کل حاصل می‌شود. سفتی یک جفت دندانه شامل چند جزء است. هر دندانه به‌نهایی شامل سفتی پایه دندانه، سفتی محوری فشاری، سفتی برشی و سفتی خمی است. همچنین دو دندانه در نقطه تماس دارای یک سفتی تماسی خواهند بود. برای سفتی درگیری دو چرخ‌دانه ساده از رابطه (۱) استفاده می‌شود [16]:

$$K_e = \sum_{i=1}^2 K_e^i \\ \frac{1}{K_e^i} = \frac{1}{K_{ap}^i} + \frac{1}{K_{bp}^i} + \frac{1}{K_{sp}^i} + \frac{1}{K_{fp}^i} + \frac{1}{K_h^i} + \frac{1}{K_{ag}^i} \\ + \frac{1}{K_{bg}^i} + \frac{1}{K_{sg}^i} + \frac{1}{K_{fg}^i} \quad (1)$$

زیرنویس‌های  $a$ ,  $b$ ,  $s$ ,  $f$  و  $h$  به ترتیب بیان‌کننده سفتی محوری، خمی، برشی، پایه و تماسی، و  $p$  و  $g$  به ترتیب مربوط به پیوین و چرخ‌دانه هستند. بالا نویس  $\alpha$  نیز مربوط به شماره جفت دندانه درگیر است که می‌تواند مقدار یک یا دو داشته باشد.

از آنجاکه چرخ‌دانه‌های ساده به‌طور ناگهانی وارد درگیری شده و به‌طور ناگهانی از آن خارج می‌شوند، تغییرات ناگهانی شدیدی در سفتی درگیری آنها مشاهده شده و نهایتاً منجر به تولید ارتعاش و سروصدای بیشتر در این سیستم‌ها می‌شود. چرخ‌دانه‌های مارپیچ برخلاف چرخ‌دانه‌های ساده، به

۱۵ درجه محور افقی) اتفاق افتاده است. میزان اختلاف نسبت به مقدار محاسبه شده در مرجع [3] ۱/۳۲ درصد محاسبه شده است.



شکل (۲): نتایج سفتی درگیری چرخ دندنه مارپیچ (الف) به دست آمده در مرجع [3] (ب) به دست آمده در این تحقیق

### مدل‌سازی ترک در ریشه دندانه

مدل‌سازی ترک ریشه دندانه در معادلات حاکم بر دینامیک چرخ دندنه‌ها در بخش محاسبه سفتی درگیری انجام می‌پذیرد. به گونه‌ای که برای مدل کردن اثر ترک، ناحیه‌ای از سطح دندانه را به عنوان ناحیه مرده تلقی کرده و در محاسبه سفتی‌های مختلف دندانه، آن ناحیه را لحاظ نمی‌کنند. روش‌های مختلفی نیز برای تعیین ناحیه مرده استفاده می‌شود. یکی از این روش‌ها بدین صورت است که از نوک ترک یک خط قائم

چنانکه مشخص است، سفتی درگیری دندانه مارپیچ اصلی می‌تواند از برهم‌نیه سفتی درگیری قطعات ساده با در نظر گرفتن فاصله زاویه‌ای آنها به دست آید. برای صحبت‌سنگی این روش از نتایج تحقیق وان و همکارانش [3] که آنها نیز نتایج خود را با یک مدل اجزاء محدود صحبت‌سنگی کرده‌اند، بهره برده می‌شود. در جدول (۱) مشخصات چرخ دندنه‌ها مورد استفاده در مرجع [3] نشان داده شده است. در این حالت نیز پس از محاسبه سفتی درگیری هر جفت دندانه مارپیچ، با استفاده از نسبت تماس چرخ دندنه‌ها نمودارهای به دست آمده با فاصله‌های مشخص روی هم قرار داده می‌شوند تا نمودار سفتی درگیری کلی دو چرخ دندنه به دست آید.

جدول «۱»: مشخصات چرخ دندنه‌های مورد استفاده در مرجع [3]

مقدار	مشخصه
۴	مدول عمودی (میلی‌متر)
۲۰	زاویه فشار عمودی (درجه)
۱۵	زاویه مارپیچ (درجه)
۲۰۶	مدول الاستیسیته (گیگاپاسکال)
۰/۳	نسبت پواسون
۳۰	عرض دندانه (میلی‌متر)
۴۰	تعداد دندانه‌ها

نتایج به دست آمده در مرجع [3] و این پژوهش در شکل (۲) نشان داده شده‌اند. چنانکه در هر دو نمودار قابل مشاهده است، خط‌چین آبی‌رنگ نشان دهنده سفتی جفت دندانه حاضر، نقطه‌چین سیزرنگ نشان دهنده سفتی جفت دندانه قبلی و خط-قطعه قرمزنگ مربوط به جفت دندانه بعدی می‌باشدند. از برهم‌نیه مقادیر سفتی‌هایی که در هر لحظه وجود دارند، سفتی درگیری کل به دست می‌آید که در نمودار با خط ممتدا مشکی نمایش داده شده است. روند تغییرات این نمودارها کاملاً با یکدیگر همخوانی دارد. بیشترین اختلاف دو نمودار در نقاط بیشینه آنها (در نقاط ۵ و

برای صحت‌سنگی روابط ذکر شده و برنامه‌های رایانه‌ای توسعه یافته در نرم‌افزار متلب از نتایج تحقیق محمد و همکارانش [18] استفاده می‌شود. مقادیر پارامترهای چرخ‌دنده‌ها و اندازه ترک استفاده شده در این تحقیق در جدول‌های (۲) و (۳) ذکر شده است.

در صد طول ترک بیان شده در جدول (۳) در واقع در صد طول ترک نسبت به نصف ضخامت دندانه در محل ترک است. برای رسم نمودار سفتی درگیری یک جفت چرخ‌دنده که یکی از آنها دارای یک دندانه ترک‌دار است به صورت زیر عمل می‌شود. ابتدا نمودار سفتی درگیری یک جفت دندانه سالم و یک جفت دندانه که یکی از آنها دارای ترک است به دست آورده می‌شوند. سپس نمودار نهایی از برهم‌نهی این نمودارها به دست می‌آید. به این صورت که فرض می‌شود در لحظه اولیه که جفت دندانه معیوب وارد درگیری می‌شوند، یک جفت دندانه سالم درون درگیری بوده و سپس در ادامه از درگیری خارج می‌شوند. پس از مدتی یک جفت دندانه سالم دیگر وارد درگیری شده و تا انتهای نمودار که درگیری جفت دندانه معیوب به پایان می‌رسد، در درگیری می‌مانند. این فاصله‌های زمانی ورود و خروج از درگیری جفت دندانه‌های مختلف به نسبت تماس چرخ‌دنده‌ها بستگی دارد.

جدول (۲): مشخصات چرخ‌دنده و پینیون [18]

مشخصه	پینیون	چرخ‌دنده
تعداد دندانه	۲۵	۳۰
مدول (میلی‌متر)	۲	۲
عرض دندانه (میلی‌متر)	۲۰	۲۰
نسبت تماس	۱/۶۳	۱/۶۳
زاویه فشار (درجه)	۲۰	۲۰
مدول الاستیسیته (گیگاپاسکال)	۲۰۰	۲۰۰
نسبت پواسون	۰/۳	۰/۳

ترسیم شده و سطح بالای ترک ناحیه مرده فرض می‌شود. تنها متغیرهایی که در این روش تغییر می‌کنند، سطح مقطع و گشتاور سطح مقطع دندانه هستند که به صورت رابطه‌های (۲) و (۳) تغییر می‌کنند [17]:

$$A_x = \begin{cases} (h_x + h_q)L & h_x \leq h_q \\ (h_x + h_q)L & h_x > h_q \end{cases} \quad (2)$$

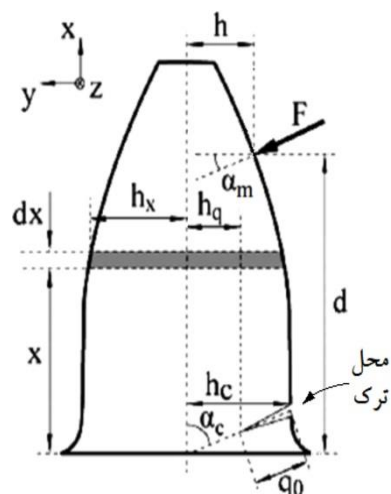
$$I_x = \begin{cases} \frac{1}{12}(h_x + h_q)^3 L & h_x \leq h_q \\ \frac{1}{12}(h_x + h_q)^3 L & h_x > h_q \end{cases} \quad (3)$$

در رابطه‌های فوق  $h_q$  طول باقیمانده از نصف ضخامت دندانه در نیمه معیوب آن است که در شکل (۳) نشان داده شده و از رابطه (۴) به دست می‌آید:

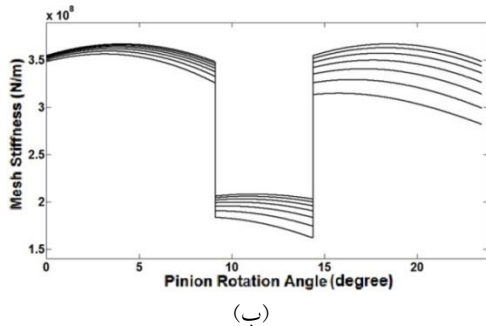
[17]

$$h_q = h_c - q_0 \cos(\alpha_c) \quad (4)$$

نصف ضخامت دندانه در ناحیه ترک،  $q_0$  طول ترک و  $\alpha_c$  زاویه راستای ترک با خط مرکزی دندانه است که در شکل (۳) نشان داده شده‌اند.



شکل (۳): مشخصه‌های مورد نیاز محاسبه سفتی دندانه ترک‌دار



(ب)

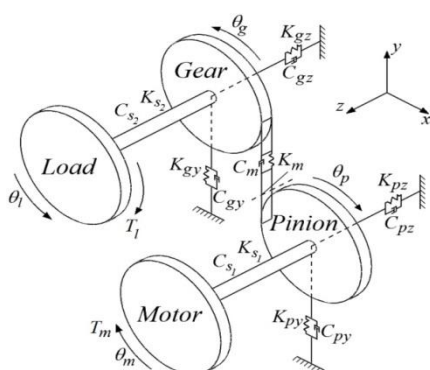
شکل «۴»: نمودار سفتی درگیری برای مقادیر مختلف ترک  
الف) رسم شده در مرجع [18] ب) بدست آمده در این تحقیق

جدول «۳»: مشخصات ترک ریشه دندانه [18]

زاویه ترک	درصد طول ترک	طول ترک (میلی متر)	مورد
۷۰ درجه	۰	۰	۱
	۸/۰۶	۰/۳	۲
	۱۶/۱۲	۰/۶	۳
	۲۴/۱۹	۰/۹	۴
	۳۲/۲۵	۱/۲	۵
	۴۰/۳۲	۱/۵	۶
	۴۸/۳۸	۱/۸	۷

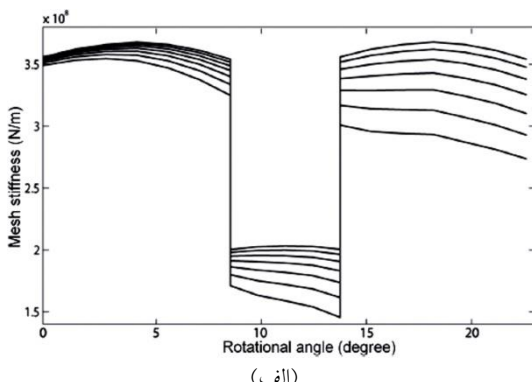
### مدل سازی دینامیکی سیستم چرخ دندنه مارپیچ

برای مدل سازی سیستم چرخ دندنهای مارپیچ Lumped Mass Model استفاده می شود. در این نوع مدل، سیستم به صورت اجزایی با جرم های متمرکز که با فنر و دمپر به هم متصل هستند مدل سازی می شود. سفتی فنرها مربوط به سفتی اجزای سیستم مانند یاتاقانها، محورها و سفتی درگیری چرخ دندنهای است. برای این منظور، یک مدل هشت درجه آزادی سیستم چرخ دندنهای مارپیچ با موتور و بار چنانکه در شکل (۵) نشان داده شده است، در نظر گرفته شده است. همچنین معادلات دیفرانسیل حاکم بر دینامیک این سیستم مطابق معادلات (۵-۱۲) بدست آمده اند. با یک روانکاری خوب بین دندانه های چرخ دندنهای درگیر، نیروی اصطکاکی بین دندانه های درگیر در راستای  $x$  قابل صرف نظر است.



شکل «۵»: مدل دینامیکی هشت درجه آزادی سیستم چرخ دندنه مارپیچ با موتور و بار

در شکل (۴) نمودار سفتی درگیری برای مشخصات چرخ دندنه ذکر شده در جدول (۲) و مقادیر مختلف اندازه ترک ذکر شده در جدول (۳) در قسمت (الف) رسم شده توسط محمد و همکارانش [18] و در قسمت (ب) بدست آمده از برنامه های رایانه ای توسعه یافته در پژوهش حاضر که در محیط نرم افزار متلب نگاشته شده اند، ارائه شده اند. مقادیر مختلف اندازه ترک در جدول (۳) به صورت درصد طول ترک آمده است که بر حسب نسبت طول ترک به ضخامت دندانه در ریشه محاسبه می شود. مشاهده می شود که روند تغییرات نمودارها کاملاً مشابه هستند. بیشترین اختلاف در بیشترین مقدار اندازه ترک (۱/۸ میلی متر) و در انتهای نمودار اتفاق افتاده است که میزان اختلاف پاسخ بدست آمده در این تحقیق نسبت به تحقیق مرجع [18] ۱/۸۲ درصد بوده است.



(الف)

$$C_{my} = C_m \cos^2 \beta \quad (20)$$

$$K_{mz} = K_m \sin^2 \beta \quad (21)$$

$$C_{mz} = C_m \sin^2 \beta \quad (22)$$

که در آنها  $K_m$  و  $C_m$  به ترتیب سفتی و میرایی درگیری جفت چرخ دنده مارپیچ و  $\beta$  زاویه مارپیچ است. میرایی هر عضو بر حسب سفتی و جرم آن به صورت  $2\xi m \sqrt{\frac{K}{m}}$  محاسبه می شود، که در آن ضریب میرایی روانکار مورد استفاده روی عضو مورد نظر است. پس از حل معادلات دیفرانسیلی در یک دور کامل چرخش پینیون و به دست آوردن سیگنانلهای ارتعاشی، خطای انتقال سیستم از معادله (۲۳) قابل محاسبه است. به میزان اختلاف مکان هندسی نقطه‌ای روی دایره مبنای چرخ دنده و خط عمل چرخ دنده‌ها در حالت واقعی و مکانی که در حالت تئوری باید باشد. خطای انتقال یک جفت چرخ دنده گفته می شود:

$$TE = (y_p + R_p \theta_p) - (y_g + R_g \theta_g) \quad (23)$$

### مجموع حاصل ضرب همسایه‌های متقارن

مجموع حاصل ضرب همسایه‌های متقارن یک روش پیشنهادی برای برگسته نمودن تغییرات محلی یک سیگنانل است. این روش توسط نویسنده‌کان پیشنهاد شده و قابلیت آن باید در موارد مختلف مطالعه گردد. در سیگنانل حاصل از این روش، اختلاف دامنه سیگنانل در محل عیب نسبت به قسمت‌های دیگر افزایش یافته و در بهبود شناسایی عیوب می‌تواند مفید باشد. در این روش تعداد مشخصی از نقاط همسایه هر نقطه مورد نظر در دو طرف آن به طور متقارن در یکدیگر ضرب شده و مجموع این حاصل ضرب به آن نقطه اختصاص می‌باشد. در واقع عامل افزاینده اختلاف نواحی سالم و معیوب، از ضرب نمودن مقادیر همسایه حاصل می‌شود که باعث می‌شود کوچک‌ترین تغییراتی در یک

$$I_m \ddot{\theta}_m = -C_{s_1}(\dot{\theta}_m - \dot{\theta}_p) - K_{s_1}(\theta_m - \theta_p) + T_m \quad (5)$$

$$I_l \ddot{\theta}_l = -C_{s_2}(\dot{\theta}_l - \dot{\theta}_g) - K_{s_2}(\theta_l - \theta_g) - T_l \quad (6)$$

$$I_p \ddot{\theta}_p = C_{s_1}(\dot{\theta}_m - \dot{\theta}_p) + K_{s_1}(\theta_m - \theta_p) - F_y R_p \quad (7)$$

$$I_g \ddot{\theta}_g = C_{s_2}(\dot{\theta}_l - \dot{\theta}_g) + K_{s_2}(\theta_l - \theta_g) + F_y R_g \quad (8)$$

$$m_p \ddot{y}_p + C_{py} \dot{y}_p + K_{py} y_p = -F_y \quad (9)$$

$$m_g \ddot{y}_g + C_{gy} \dot{y}_g + K_{gy} y_g = F_y \quad (10)$$

$$m_p \ddot{z}_p + C_{py} \dot{z}_p + K_{py} z_p = -F_z \quad (11)$$

$$m_g \ddot{z}_g + C_{gy} \dot{z}_g + K_{gy} z_g = F_z \quad (12)$$

که در آنها  $I_m$ ،  $I_l$  و  $I_g$  به ترتیب ممان اینرسی موتور، بار، پینیون و چرخ دنده،  $m_p$  و  $m_g$  به ترتیب جرم پینیون و چرخ دنده،  $\theta_m$ ،  $\theta_l$  و  $\theta_g$  به ترتیب دوران محوری موتور، بار، پینیون و چرخ دنده و  $y_p$  و  $z_p$  و  $z_g$  به ترتیب جابجایی پینیون و چرخ دنده در راستای  $y$  و  $z$  هستند. بالانویس‌های (.) و (..) بیانگر مشتقات اول و دوم توابع بر حسب زمان هستند.  $K_{s_1}$  و  $K_{s_2}$  به ترتیب سفتی و ضریب میرایی محورهای ورودی و خروجی،  $C_{py}$ ،  $K_{py}$  و  $C_{gy}$  به ترتیب سفتی و ضریب میرایی یاتاقان‌های پینیون و چرخ دنده،  $T_m$  و  $R_g$  به ترتیب اعمالی از طرف موتور و بار و  $R_p$  و  $F_y$  و  $F_z$  به ترتیب شعاع مبنای پینیون و چرخ دنده هستند.  $y$  و  $z$  نیز به ترتیب مؤلفه‌های نیروی درگیری جفت چرخ دنده در راستای  $y$  و  $z$  هستند که از معادلات (۱۳-۲۲) قابل محاسبه هستند.

$$F_y = K_{my}(\tilde{y}_p - \tilde{y}_g) + C_{my}(\dot{\tilde{y}}_p - \dot{\tilde{y}}_g) \quad (13)$$

$$F_z = K_{mz}(\tilde{z}_p - \tilde{z}_g) + C_{mz}(\dot{\tilde{z}}_p - \dot{\tilde{z}}_g) \quad (14)$$

$$\tilde{y}_p = y_p + R_p \theta_p \quad (15)$$

$$\tilde{y}_g = y_g + R_g \theta_g \quad (16)$$

$$\tilde{z}_p = z_p + \tilde{y}_p \tan \beta \quad (17)$$

$$\tilde{z}_g = z_g - \tilde{y}_g \tan \beta \quad (18)$$

$$K_{my} = K_m \cos^2 \beta \quad (19)$$

است. چنانکه مشهود است، این عملیات در بر جسته کردن اثر ترک و نشان دادن محل وقوع آن کاملاً کارآمد بوده است.

جدول (۴): مقادیر و مشخصات سیستم چرخ دنده‌ای مارپیچ

مقدار	پارامتر	مقدار	پارامتر
$160.96 \frac{kN.m}{rad}$	سفتی پیچشی محور ورودی	$3 KW$	توان موتور
$317.89 \frac{kN.m}{rad}$	سفتی پیچشی محور خروجی	$1000 RPM$	سرعت دورانی موتور
$25 mm$	شعاع داخلی پینیون	$3 mm$	مدول عمودی
$30 mm$	شعاع داخلی چرخ دنده	$20 deg.$	زاویه فشار عمودی
$276 MPa$	مقاومت تسلیم	$15 deg.$	زاویه مارپیچ
$68.9 GPa$	مدول الاستیستیته	$20 mm$	پهنهای چرخ دنده
0.33	نسبت پواسون	44	تعداد دنده‌های پینیون
$26 GPa$	مدول برشی	59	تعداد دنده‌های چرخ دنده
$1.774 g.m^2$	ممان اینرسی پینیون	$677 g$	جرم پینیون
$5.808 g.m^2$	ممان اینرسی چرخ دنده	$1.259 kg$	جرم چرخ دنده
$23.87 \frac{kN}{mm}$	سفتی شعاعی یاتاقان ورودی	$0.951 \frac{kN}{mm}$	سفتی محوری یاتاقان ورودی
$46.922 \frac{kN}{mm}$	سفتی شعاعی یاتاقان خروجی	$2.079 \frac{kN}{mm}$	سفتی محوری یاتاقان خروجی
$0.86 g.m^2$	ممان اینرسی محور ورودی	$3.21 kg$	جرم محور ورودی
$1.86 g.m^2$	ممان اینرسی محور خروجی	$4.69 kg$	جرم محور خروجی

ناحیه از سیگنال به صورت تغییرات بزرگ خود را نشان دهد. برای یک سیگنال گسسته  $[n]x$  مجموع حاصل ضرب همسایه‌های متقارن به صورت زیر تعریف می‌شود:

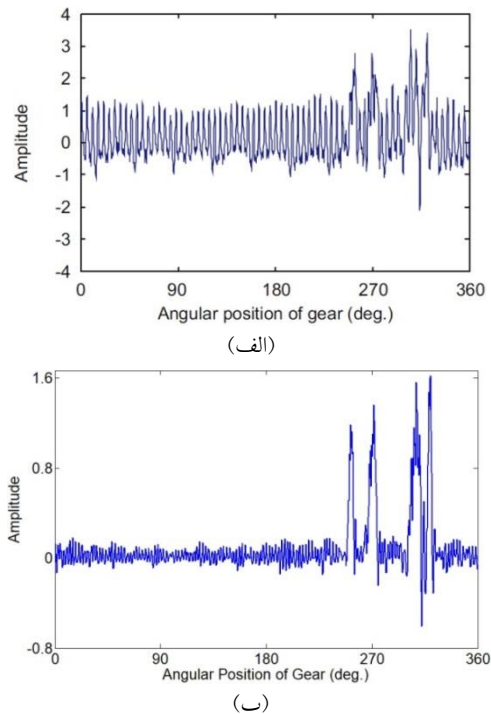
$$SNCS_x[n, d] = \sum_{k=1}^d x[n+k]x[n-k] \quad (24)$$

که  $d$  اندازه همسایگی را نشان می‌دهد. در نظر گرفتن یک همسایگی حول نقطه مورد نظر برای انجام محاسبات در این روش، باعث می‌شود تغییرات جزئی در نقاطی که با نقاط همسایگی خود همخوانی ندارند به عنوان خطای اندازه‌گیری در نظر گرفته شده و نادیده گرفته شوند و بالعکس تغییراتی که روی تمام نقاط یک ناحیه به واسطه وجود عیب واقعی رخ می‌دهند، به عنوان تغییرات مهم تلقی شده و بر جسته‌تر گردند.

## نتایج

در جدول (۴) مشخصات یک سیستم چرخ دنده‌ای مارپیچ تک مرحله‌ای مطابق شکل (۵) ارائه شده است. سیگنال ارتعاشی حاصل از شبیه‌سازی دینامیکی این سیستم با وجود یک ترکدار با طول و عمق ۱۰ درصد طول و ضخامت دنده‌ها، در دنده‌های شماره ۱۴ پینیون، در شکل (۶-الف) نشان داده شده است.

هرچند به علت کوچک بودن اندازه ترک، اثر آن روی سیگنال ارتعاشی یا همان خطای انتقال سیستم بسیار کم بوده و در شکل به راحتی قابل تمایز نیست، اما مقدار خطای انتقال در ناحیه‌ای که دنده‌های ترکدار (دنده‌های ۱۴) وارد درگیری شده تا لحظه‌ای که از درگیری خارج می‌شود (حدود زاویه ۱۲۰ درجه چرخش پینیون) نسبت به مقادیر متناظر آن در دنده‌های دیگر بیشتر است. در شکل (۶-ب) نیز حاصل مجموع حاصل ضرب همسایه‌های متقارن با اندازه همسایگی برابر با یک سیکل درگیری نشان داده شده

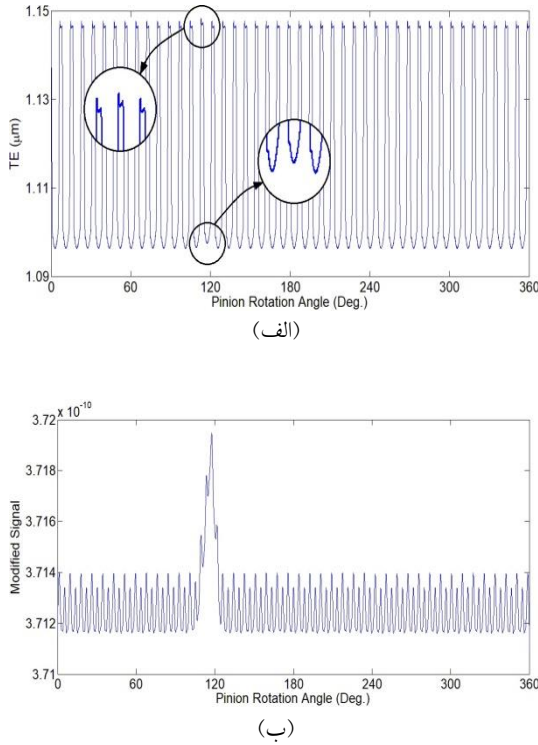


شکل «۷»: (الف) سیگنال ارتعاشی سیستم چرخ دنداهای ارائه شده توسط وانگ و وونگ [۷]. (ب) حاصل مجموع حاصل ضرب همسایه‌های متقارن

در شکل (۷-الف) سیگنال ارتعاشی یک سیستم چرخ دنداهای با ۷۱ دندانه پینیون و چهار دندانه ترکدار که توسط وانگ و وونگ [۷] ارائه شده، نشان داده شده است. چنانکه از شکل الف قابل برداشت است، ناحیه بین زاویه ۲۴۰ تا ۳۶۰ درجه چرخش پینیون دارای اثرات عیوب محلی بوده است؛ اما به علت مخدوش بودن سیگنال، تعیین دقیق دندانه‌های معیوب امکان‌پذیر نیست. در شکل (۷-ب) حاصل مجموع حاصل ضرب همسایه‌های متقارن با اندازه همسایگی به اندازه یک دندانه نشان داده شده است. چنانکه مشهود است، چهار ناحیه مجزا به صورت مشخص و واضح نمایان شده‌اند که می‌تواند در تعیین دندانه‌های معیوب بسیار اثربخش و مفید باشد. می‌توان نتیجه گرفت که این عملیات در بر جسته کردن اثر ترک و نشان دادن محل وقوع آن کاملاً کارآمد بوده است.

### نتیجه‌گیری

کارایی، دقّت و عمر سیستم‌های انتقال قدرت در صنعت بسیار مهم است. از جمله سیستم‌های انتقال قدرتی که نسبت به دیگر سیستم‌ها دارای نسبت طرفیت برابری به وزن بالاتر، راندمان انتقال بیشتر، سروصدا و ارتعاش کمتر و عمر بیشتر است، می‌توان به سیستم‌های چرخ دنداهی اشاره نمود. در این میان سیستم‌های چرخ دنداهی مارپیچ از دقّت، عمر و کاربرد بیشتر و لرزش، سروصدا و خطای انتقال کمتری نسبت به دیگر سیستم‌ها بهره می‌برند. یکی از مواردی که می‌تواند در کارکرد این سیستم‌ها خلل ایجاد کند، وجود ترک در دندانه چرخ دنده است که عموماً در ریشه دندانه‌ها اتفاق می‌افتد. از این‌رو شناسایی و ردیابی ترک دندانه در زمان پیدایش و رشد اولیه آن، بسیار حائز اهمیّت است. عموماً در پژوهش‌های مربوطه، برای استخراج اثر ترک‌ها از سیگنال ارتعاشی



شکل «۶»: (الف) سیگنال ارتعاشی حاصل از شبیه‌سازی دینامیکی سیستم شکل (۵-ب) حاصل مجموع حاصل ضرب همسایه‌های متقارن

وقوع آن کاملاً مفید و کارآمد عمل می‌کند. از جمله پژوهش‌هایی که در آینده در این زمینه قابل انجام است، می‌توان به بررسی اثر اندازه همسایگی بر روی بر جسته‌سازی محل عیب و همچنین اعمال روش پیشنهادی بر روی سیگنال‌های ارتعاشی تجربی سیستم‌های مختلف چرخ دنده‌ای اشاره نمود.

### واژه‌نامه

Amplitude and Phase Demodulation	تفکیک دامنه‌ای و فازی
Residual Signal	سیگنال باقیمانده
Autoregressive Model	مدل خودبرگشت‌کننده
Ensemble Empirical Mode Decomposition	تجزیه جمعی تجربی
Intrinsic Mode Functions	توابع مود طبیعی
Mesh Stiffness	سفتی درگیری
Helical Gear	چرخدنده مارپیچ
Tooth Root Crack	ترک در ریشه دندانه
Sum of Symmetric Neighbors Multiplication	مجموع حاصل ضرب همسایه‌های متقارن
Transmission Error	خطای انتقال

وبرای تعیین محل وقوع آنها از روش سیگنال باقیمانده استفاده می‌کنند. ازانجاکه محاسبه سیگنال باقیمانده مستلزم دانستن سیگنال ارتعاشی حالت سالم و یا پارامترها و شرایط سیستم مورد بررسی است، ارائه راهکاری جهت بر جسته نمودن تأثیر ترک دندانه روی سیگنال ارتعاشی می‌تواند در شناسایی محل ترک در سیگنال ارتعاشی بسیار مفید و مشمر ثمر واقع شود. بدین منظور از سیگنال ارتعاشی حاصل از شبیه‌سازی یک سیستم چرخ دنده‌ای مارپیچ تک مرحله‌ای با یک ترک کوچک در ریشه دندانه پیشون استفاده شد. سپس روش مجموع حاصل ضرب همسایه‌های متقارن به عنوان روش پیشنهادی در این تحقیق، روی سیگنال ارتعاشی سیستم اعمال شده و قابلیت منحصر به فرد آن نشان داده شد. بدین صورت که تغییرات کوچکی که به‌واسطه یک ترک کوچک روی سیگنال ارتعاشی سیستم رخ داده بود، با اعمال روش پیشنهادی تا حدود سه برابر کل دامنه ارتعاشی افزایش یافت. همچنین این روش روی یک سیگنال ارتعاشی مخلوش ارائه شده در یکی از تحقیقات پیشین، اعمال شده و کارایی آن در تعیین دندانه‌های معیوب به خوبی نشان داده شد. در این مثال نیز نسبت دامنه ارتعاشی ناحیه معیوب به ناحیه سالم که کمتر از دو برابر بود تا بیش از چهار برابر ارتقاء یافت. به طور کلی می‌توان نتیجه‌گیری کرد که این عملیات در بر جسته کردن اثر ترک و نشان دادن محل

### مراجع

1. Mohammed, O.D., Rantatalo, M. and Aidanpää, J.-O., "Improving mesh stiffness calculation of cracked gears for the purpose of vibration-based fault analysis", *Engineering Failure Analysis*, Vol. 34, pp. 235–251, (2013).
2. Li, C.J. and Lee, H., "Gear fatigue crack prognosis using embedded model, gear dynamic model and fracture mechanics", *Mechanical Systems and Signal Processing*, Vol. 19, pp. 836–846, (2005).
3. Wan, Z., Cao, H., Zi, Y., He, W. and Chen, Y., "Mesh stiffness calculation using an accumulated integral potential energy method and dynamic analysis of helical gears", *Mechanism and Machine Theory*, Vol. 92, pp. 447–463, (2015).
4. McFadden, P.D., "Detecting fatigue cracks in gears by amplitude and phase demodulation of the meshing vibration", *Journal of Vibration, Acoustics, Stress, and Reliability in Design*, Vol. 108, pp.

- 165–170, (1986).
5. Stewart, R.M., "Some useful data analysis techniques for gearbox diagnostics", University of Southampton, (1977).
  6. Randall, R.B., "Vibration-based condition monitoring: industrial, aerospace and automotive applications", John Wiley & Sons, (2011).
  7. Wang, W. and Wong, A.K., "Autoregressive model-based gear fault diagnosis", *Journal of Vibration and Acoustics*, Vol. 124, pp. 172–179, (2002).
  8. Endo, H., Randall, R.B., and Gosselin, C., "Differential diagnosis of spall vs. cracks in the gear tooth fillet region: Experimental validation", *Mechanical Systems and Signal Processing*, Vol. 23, pp. 636–651, (2009).
  9. Zhou, X., Shao, Y., Lei, Y. and Zuo, M., "Time-varying meshing stiffness calculation and vibration analysis for a 16DOF dynamic model with linear crack growth in a pinion", *Journal of Vibration and Acoustics*, Vol. 134, pp. 11011, (2012).
  10. Assaad, B., Eltabach, M. and Antoni, J., "Vibration based condition monitoring of a multistage epicyclic gearbox in lifting cranes", *Mechanical Systems and Signal Processing*, Vol. 42, pp. 351–367, (2014).
  11. Elasha, F., Ruiz-Carcel, C., Mba, D. and Chandra, P., "A comparative study of the effectiveness of adaptive filter algorithms, spectral kurtosis and linear prediction in detection of a naturally degraded bearing in a gearbox", *Journal of Failure Analysis and Prevention*, Vol. 14, pp. 623–636, (2014).
  12. Wu, S., Zuo, M.J. and Parey, A., "Simulation of spur gear dynamics and estimation of fault growth", *Journal of Sound and Vibration*, Vol. 317, pp. 608–624, (2008).
  13. Sun, R., Yang, Z., Chen, X., Tian, S. and Xie, Y., "Gear fault diagnosis based on the structured sparsity time-frequency analysis", *Mechanical Systems and Signal Processing*, Vol. 102, pp. 346–363, (2018).
  14. Buzzoni, M., D'Elia, G., Mucchi, E. and Dalpiaz, G., "A vibration-based method for contact pattern assessment in straight bevel gears", *Mechanical Systems and Signal Processing*, Vol. 120, pp. 693–707, (2019).
  15. Mahgoun, H., Bekka, R.E. and Felkaoui, A., "Gearbox fault diagnosis using ensemble empirical mode decomposition (EEMD) and residual signal", *Mechanics & Industry*, Vol. 13, pp. 33–44, (2012).
  16. Yu, W., Shao, Y. and Mechefske, C.K., "The effects of spur gear tooth spatial crack propagation on gear mesh stiffness", *Engineering Failure Analysis*, Vol. 54, pp. 103–119, (2015).
  17. Mohammed, O.D., Rantatalo, M. and Aidanpää, J.-O., "Dynamic modelling of a one-stage spur gear system and vibration-based tooth crack detection analysis", *Mechanical Systems and Signal Processing*, Vol. 54, pp. 293–305, (2015).
  18. Mohammed, O.D. and Rantatalo, M., "Gear tooth crack detection using dynamic response analysis", *Insight (Northampton)*, Vol. 55, pp. 417–421, (2013).